

ЛИТЕРАТУРА

1. G. Graefer. Z. anorg. Allg. Chem., 1941, **248**, 1.
2. H. Schäfer, R. Gruehn und F. Schulte. Angew. Chem., 1966, **78**, 28.
3. Г. А. Агадуров, О. Н. Бреусов и др. ФГВ, 1966, **2**, 4, 130.
4. Г. А. Агадуров, А. Н. Дремин и др. ФГВ, 1967, **3**, 2, 281.
5. J. F. Heyda. Symp. Higr. Dyn. press., Paris, sept. 1967.
6. R. G. McQueen and S. P. Marsh. J. Appl. Phys., 1960, **31**, 7, 1253.
7. Л. М. Ковба, В. К. Трунов, З. Я. Польщикова. Изв. АН СССР, Неорганические материалы, 1967, **3**, 403.
8. Л. В. Альтшuler, К. К. Крупников, Н. И. Бражник. ЖТЭФ, 1958, **34**, 4, 886.
9. В. С. Трофимов, Г. А. Агадуров и др. ФГВ, 1968, **4**, 2, 244.

УДК 532.593

ПАРАМЕТРЫ УДАРНЫХ ВОЛН ПРИ ВЗРЫВЕ СФЕРИЧЕСКОГО ЗАРЯДА В ПОРИСТОМ NaCl

Б. Д. Христофоров
(Москва)

Большинство горных пород в естественном состоянии являются пористыми телами из-за наличия внутренних пустот и трещин. Физико-механические свойства пористого вещества существенно отличаются от свойств сплошного. Наличие пор приводит к заметному изменению упругих и прочностных характеристик твердого тела и влияет на его поведение при динамическом и статическом нагружении и разгрузке. Поэтому можно ожидать, что в ближней зоне взрыва, где происходит пластическое течение и разрушение вещества, даже небольшая пористость может существенно влиять на параметры, характеризующие действия взрыва в среде. Однако в настоящее время опубликовано сравнительно мало результатов экспериментальных исследований о параметрах волн в различных средах в ближней зоне, где происходит дробление вещества. В то же время эти данные необходимы для определения характера разрушения и потому, что состояние среды в ближней зоне определяет параметры эффективного упругого источника, характеризующего действие взрыва на больших расстояниях [1].

В связи с этим были проведены лабораторные опыты по определению параметров ударных волн в твердом теле при различных значениях его пористости в диапазоне $1 \leq \bar{R} \leq 9$, где $\bar{R} = R/R_0$ — отношение расстояния R от точки измерения до заряда к его радиусу R_0 .

В качестве материала, моделирующего свойства естественной горной породы, использовался порошок NaCl с размером зерен около 0,3 мм, спрессованный до плотностей $\rho_{00} = 2,12, 1,87$ и $1,72 \text{ г/см}^3$, при плотности монокристалла $\rho_0 = 2,16 \text{ г/см}^3$. Пористость прессованных образцов, определяемая соотношением $\eta = 1 - \rho_{00}/\rho_0$ соответственно составляла 2; 13,5 и 20 %. В опытах использовались цилиндрические образцы из соли диаметром 100 и 84 мм. В таблице приведены значения упругих характеристик образцов NaCl различной плотности, определенных по результатам ультразвуковых измерений продольной c_1 и поперечной c_2 скоростей звука. Погрешность этих измерений составляла $\pm 3 \%$. Там же приведены значения прочности σ_* при осевом сжатии образцов диа-

$\eta, \%$	$\rho_\infty, g/cm^3$	$c_1, km/sec$	$c_2, km/sec$	$c_3, km/sec$	v	$E, kbar$	$K, kbar$	$G, kbar$	$\sigma_*, kbar$
20	1,72	3,04	1,73	2,26	0,23	137	86	55	0,21
13,5	1,87	3,56	2,08	2,65	0,24	200	130	81	0,37
2	2,12	4,42	2,55	3,29	0,25	345	230	138	0,89

метром 10, 20 и 40 mm и высотой, равной диаметру. Контрольные измерения σ_* при высоте образцов, равной двум диаметрам, введение смазки на торцах образцов, изменение размеров зерен до 0,1 mm не привели к заметному изменению прочности.

Поскольку NaCl имеет изотропную кристаллическую решетку, можно ожидать, что в прессованных образцах не будет существенной анизотропии в значениях упругих и прочностных характеристик. В рассматриваемом диапазоне давлений в NaCl не обнаружены полиморфные превращения. Поэтому можно надеяться, что основные особенности его поведения при взрывном нагружении будут характерны для пористых горных пород с подобными механическими свойствами.

Взрывы производились сферическими литыми зарядами из ТГ 50×50 весом 23 и 84 г и спрессованными до плотности 1,4 g/cm^3 зарядами из тэна весом 0,16, 0,8 и 2,5 г. Параметры детонации этих типов зарядов близки. Инициирование осуществлялось в центре зарядов. Заряды максимального веса применялись для получения надежных измерений в диапазоне $1 \leq R \leq 2$. При проведении опытов заряды устанавливались в центре образцов.

Измерение параметров ударной волны проводилось электромагнитным методом, предложенным акад. Е. К. Завойским. Для электромагнитных измерений был разработан малогабаритный электромагнит постоянного тока весом 100 кг с напряженностью магнитного поля около 400 э в зазоре между полюсными наконечниками размером 200×200×200 mm . Магнитное поле вблизи центра зазора постоянно с точностью до 1% в области с линейным размером около 50 mm . Электромагнит позволяет проводить взрывы зарядов весом около 0,5 кг без остаточных деформаций магнитопровода.

Датчики из медной проволоки толщиной 0,06 mm устанавливались на границе с зарядом и на различных расстояниях до него в диапазоне до 45 mm по дуге окружности, описанной вокруг заряда, а выводы датчика выводились по радиусам, исходящим из центра заряда. Регистрация сигналов от датчика проводилась в каждом опыте на двух осциллографах ОК-17 и одном ОК-33. Точность отдельного измерения массовой скорости составляла $\pm 8\%$. Для снижения погрешности опыты повторялись.

Характер изменения формы профиля ударной волны при ее распространении по образцу показан на рис. 1. На оси абсцисс отложено время, отсчитанное с момента вхождения волны в образец и отнесенное к радиусу заряда. При значениях максимальной массовой скорости $v \geq 850 \text{ m/sec}$ ($R \leq 1,5$) фронт волны ударный. В диапазоне $v \leq 850 \text{ m/sec}$ перед ударной волной возникает предвестник с размытым фронтом, скорость распространения вступления которого около 3,5 km/sec соответствует измеренной скорости продольных звуковых волн. Это позволяет считать предвестник упругой волной.

В диапазоне $220 \leq v \leq 850 \text{ m/sec}$ за предвестником следует пластическая волна с ударным фронтом. При $v \leq 220 \text{ m/sec}$ ($R \geq 2,3$) фронт

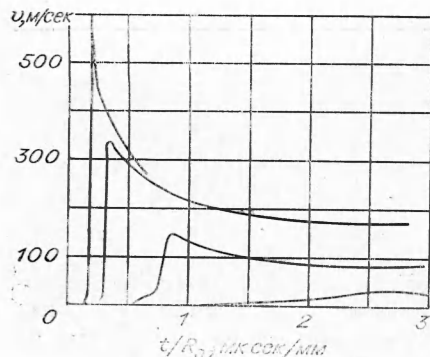


Рис. 1. Профили массовых скоростей в ударных волнах при взрыве в NaCl с $\rho_{00} = 1,87 \text{ г/см}^3$.

тие ударного фронта возникает при $v \lesssim 180$ и 280 м/сек .

На рис. 2 даны зависимости приведенных времени нарастания $\bar{\tau}_n = \tau_n / R_0$ и положительной фазы волны $\bar{\tau}_+ = \tau_+ / R_0$ от расстояния при взрыве в образцах NaCl различной плотности. При $\bar{R} \gtrsim 2$ $\bar{\tau}_n$ резко увеличивается. Этот процесс происходит тем быстрее, чем меньше плотность вещества, главным образом в области давлений, где интенсивность волны недостаточна для схлопывания пор и фронт размывается. Если $\bar{R} \gtrsim 6$, $\bar{\tau}_n$ слабо возрастает с расстоянием. Увеличение времени нарастания прекращается раньше в образцах максимальной плотности, что связано с их большей прочностью и в связи с этим с меньшими размерами зоны пластических деформаций. В диапазоне $\bar{R} > 5$ времена положительной фазы остаются постоянными. При $\bar{R} \lesssim 2,5$ данных о времени положительной фазы не было получено из-за преждевременного обрыва датчиков. С увеличением пористости образцов от 2 до 20% $\bar{\tau}_n$ и $\bar{\tau}_+$ возрастают примерно в 4 и 1,5 раза соответственно.

Зависимости максимальной массовой скорости от расстояния в образцах различной плотности приведены на рис. 3. На расстояниях $\bar{R} > 2$ при взрыве зарядов, вес которых отличался примерно на 2 порядка, закон геометрического подобия выполняется. При взрыве зарядов весом до 2,5 г в диапазоне $\bar{R} < 2$ результаты измерения амплитуды волны были ниже, чем при взрыве зарядов большого веса вследствие недостаточного разрешения регистрирующей аппаратуры. Поэтому результаты измерения с зарядами тэнза при $\bar{R} < 2$ не приведены. При увеличении пористости вещества

этой волны размывается тем сильнее, чем меньше ее интенсивность и больше путь, пройденный по веществу. Упругая волна плавно сопряжена с пластической и их трудно разграничить. Оценки показывают, что в этой области плотность вещества на максимуме волны меньше плотности кристалла, поэтому при нарастании давления до максимума полного схлопывания пор не происходит. Такие же особенности профиля волны сжатия отмечены в образцах NaCl с плотностью 2, 12 и $1,72 \text{ г/см}^3$. Скорость вступления упругой волны в них составляет соответственно 4,4 и $3,05 \text{ км/сек}$, а размытие удараного фронта возникает при $v \lesssim 180$ и 280 м/сек .

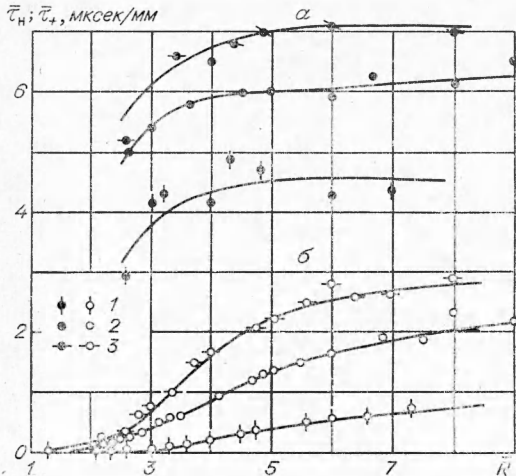


Рис. 2. Зависимости приведенных времени нарастания (а) и времени положительной фазы (б) волн от относительного расстояния до центра взрыва.
1 — $\rho_{00} = 2,12 \text{ г/см}^3$; 2 — $\rho_{00} = 1,87 \text{ г/см}^3$; 3 — $\rho_{00} = 1,72 \text{ г/см}^3$.

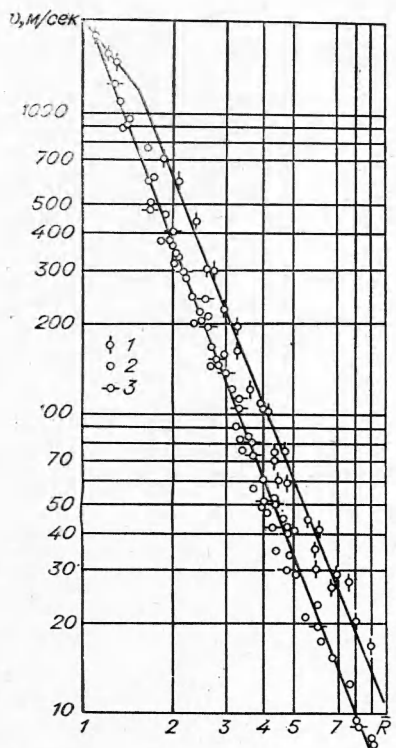


Рис. 3. Зависимость максимальной массовой скорости от относительного расстояния.
1 — $\rho_{00}=2,12 \text{ г/см}^3$; 2 — $\rho_{00}=1,87 \text{ г/см}^3$; 3 — $\rho_{00}=1,72 \text{ г/см}^3$.

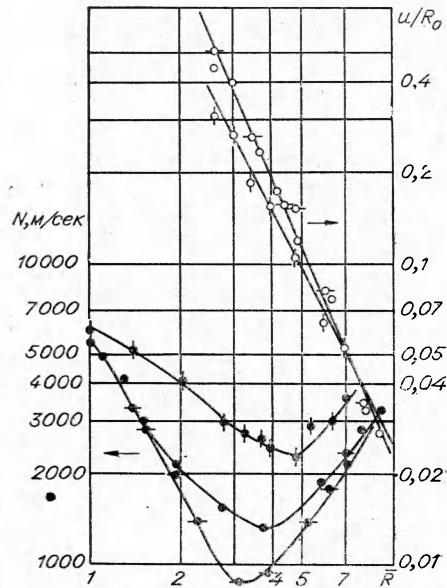


Рис. 4. Зависимость скорости максимума волны N и относительного смещения u/R_0 от относительного расстояния R . Обозначения см. на рис. 2.

от 2 до 13% максимальная массовая скорость в волне заметно уменьшается. Влияния пористости на амплитуду волны не обнаружено при $\eta > 13\%$.

Расхождение $v(\bar{R})$ зависимостей в образцах с $\rho_{00}=2,12$ и $1,87 \text{ г/см}^3$ возрастает с расстоянием. Значения v в образцах с $\rho_{00}=2,12 \text{ г/см}^3$ при $\bar{R}=2$ и 8 примерно на 60 и 100% выше, чем при $\rho_{00}=1,87 \text{ г/см}^3$. Зависимости $v(\bar{R})$ для образцов с плотностью 1,87 и $1,72 \text{ г/см}^3$ с точностью до ошибки измерений совпадают. Результаты измерений можно описать следующими эмпирическими формулами, в которых v выражено в м/сек .

$$\begin{aligned} v &= 2100/\bar{R}^{2,6}; \quad 1 \leq \bar{R} \leq 9; \quad \rho_{00} = 1,87 \text{ и } 1,72 \text{ г/см}^3, \\ v &= 2000/\bar{R}^{1,25}; \quad 1 \leq \bar{R} \leq 1,5 \\ v &= 3500/\bar{R}^{2,5}; \quad 1,5 \leq \bar{R} \leq 9 \end{aligned} \left. \begin{array}{l} \\ \\ \end{array} \right\} \rho_{00} = 2,12 \text{ г/см}^3.$$

Рассчитанные из задачи о распаде разрыва значения массовой скорости на границе с зарядом согласуются с результатами их измерений.

На рис. 4 приведены экспериментальные данные для скорости распространения N максимума волны и смещения u за время положительной фазы, обозначенные темными и светлыми кружками соот-

ветственно, в функции от расстояния в образцах различной плотности. С уменьшением плотности образцов смещения увеличиваются тем сильнее, чем ближе точка измерения к заряду. Результаты измерения и можно описать следующими эмпирическими формулами:

$$u/R_0 = 2,4/\bar{R}^2; \quad 2,5 \leq \bar{R} \leq 10; \quad \rho_{00} = 2,12;$$

$$u/R_0 = 4,4/\bar{R}^{2,3}; \quad 2,5 \leq \bar{R} \leq 10; \quad \rho_{00} = 1,87 \text{ и } 1,72 \text{ г/см}^3.$$

На расстояниях $\bar{R} \leq 2,5$ смещения не определены из-за преждевременного обрыва датчиков. Можно ожидать, что в этом диапазоне при приближении к полости смещения будут возрастать медленнее, чем это следует из приведенных формул вследствие уменьшения времени действия волны в этой области. Зависимость $N(\bar{R})$ имеет минимум в диапазоне $\bar{R} \approx 3-5$. Положение минимума смещается в сторону больших расстояний от заряда при увеличении плотности образцов. Дальнейшее увеличение расстояния ведет к возрастанию скорости максимума волны из-за перехода вещества в волне из состояния пластического течения в упругое.

Для определения давления и энергии по результатам измерений массовой скорости необходимо знать зависимость N от v . Результаты определения этой зависимости электромагнитным методом приведены на рис. 5, при этом были использованы также данные опытов с плоскими волнами для более точного определения N в области высоких давлений [2]. В области высоких значений массовых скоростей, где фронт волны ударный, экспериментальные данные описываются линейными $N(v)$ соотношениями (см. рис. 5, 2), проведенными через значения гидродинамических скоростей звука $c_3 = \sqrt{K/\rho_{00}}$ при $v=0$. Их можно описать следующими формулами:

$$N = 3300 + 1,41 v; \quad \rho_{00} = 2,12 \text{ г/см}^3; \quad v \geq 600 \text{ м/сек};$$

$$N = 2660 + 1,43 v; \quad \rho_{00} = 1,87 \text{ г/см}^3; \quad v \geq 800 \text{ м/сек};$$

$$N = 2240 + 1,41 v; \quad \rho_{00} = 1,72 \text{ г/см}^3; \quad v \geq 1000 \text{ м/сек}.$$

В диапазоне $N < c_1$, где распространяется упруго-пластическая волна, с уменьшением максимальной массовой скорости значения скорости N быстро уменьшаются и лежат значительно ниже прямой 2. При $v \approx 100 \text{ м/сек}$ кривые $N(v)$ имеют минимум. В этом диапазоне резко увеличивается время нарастания волны из-за большого различия в N и c_1 . При дальнейшем уменьшении v скорость максимума волны возрастает, приближаясь к c_1 , что связано с переходом вещества в упругое состояние. Отмеченный ранее минимум на кривых $N(\bar{R})$ связан с наличием минимума на кривых $N(v)$. Определение нормального напряжения по известным значениям волновой и массовой скоростей можно производить по уравнению сохранения на фронте $p = \rho_{00} N v$ лишь в случае стационарной волны. В области, где фронт волны размывается и время нарастания резко увеличивается, это условие не выполняется. Поэтому были проведены специальные опыты с плоскими волнами [2], в которых в области, где фронт волны размыт, напряжение определялось с помощью интегрирования уравнений гидродинамики по заданному из эксперимента полю массовых скоростей. Определенные таким образом напряжения, с точностью до экспериментальных ошибок, согласовывались с результатами их определения по формуле $p = \rho_{00} N v$, которая в связи с этим использовалась для обработки результатов измерений.

Для оценки энергии E ударной волны в веществе было использовано выражение для плотности потока энергии через фиксированную поверхность

$$E = 4\pi R^2 \int_0^\tau \left(\epsilon \rho v + \frac{1}{2} \rho v^3 + p v \right) dt.$$

Предполагалось, что $\epsilon = \frac{1}{2} v^2$ не только на фронте, но и во всей области течения. Это предположение слабо влияет на результаты, так

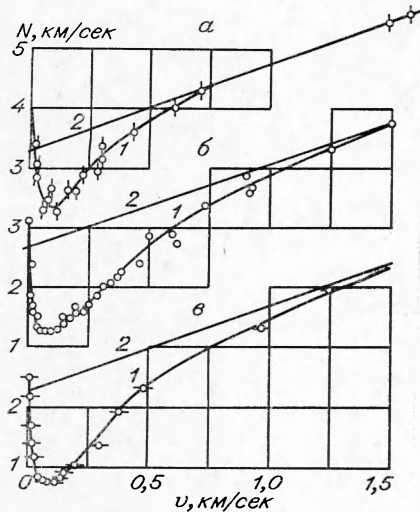


Рис. 5. Зависимость скорости N распространения максимума волны от максимальной массовой скорости v .
а, б, в — $\rho_0 = 2,12; 1,87; 1,72 \text{ г/см}^3$ соответственно.
1 — экспериментальные зависимости; 2 — линейное $N(v)$ соотношение. * — значения гидродинамической скорости c_s .

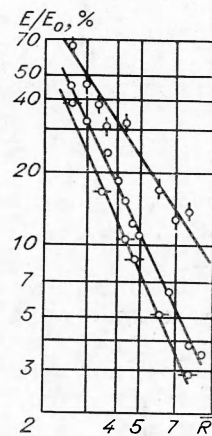


Рис. 6. Зависимость энергии ударной волны от расстояния.

как первые два члена под интегралом много меньше ρv . Кроме того, связь p, ρ, v во всей области течения бралась такой же, как на фронте. На рис. 6 приведена зависимость E/E_0 (где E — энергия ВВ) от расстояния. В ближней зоне взрыва, где идет пластическое течение и разрушение вещества, происходит интенсивная диссипация энергии ударной волны, в результате которой у границы зоны дробления $R \approx 10$ в ударной волне остается лишь несколько процентов от энергии взрыва. Таким образом, результаты измерений показывают, что пористость среды существенно влияет на диссипацию энергии в параметры ударной волны в ближней зоне взрыва.

Автор выражает благодарность А. Н. Аверину и А. А. Игнатову, участвовавшим в проведении измерений.

Поступила в редакцию
17/V 1971

ЛИТЕРАТУРА

1. В. Н. Родионов, А. П. Сухотин. ФГВ, 1971, 7, 1.
2. И. В. Белинский, Б. Д. Христофоров. ПМТФ, 2, 1970.